

Laserová technika

Rychlostní rovnice. Dynamika laseru s krátkým rezonátorem
Q-spínání. Spínání ziskem.

Jan Šulc

Katedra fyzikální elektroniky
České vysoké učení technické v Praze
jan.sulc@fjfi.cvut.cz

6. května 2022

Program přednášek

1. Poloklasická teorie šíření rezonančního záření dvouhlinovým prostředím
2. Šíření stacionární rovinné vlny v aktivním prostředí
3. Šíření optických impulsů v aktivním prostředí
4. Laser v approximaci rychlostních rovnic
5. Rychlostní rovnice pro Q-spínající laser
6. Koherentní šíření impulsu a zesílená spontánní emise

Záření elektromagnetická vlna, popisují MR klasicky

Interakce rezonančního záření s prostředím poloklasicky

Záření elektromagnetická vlna, popisují MR klasicky

Prostředí soubor dvouhlinových kvantových soustav, $\omega_{21} = (E_2 - E_1)/\hbar$

Interakce rezonančního záření s prostředím poloklasicky

Záření elektromagnetická vlna, popisují MR klasicky

Prostředí soubor dvouhlinových kvantových soustav, $\omega_{21} = (E_2 - E_1)/\hbar$

Interakce záření s hmotou prostřednictvím polarizace prostředí $\hat{W} = -\hat{\vec{d}} \cdot \vec{E}(t)$

Interakce rezonančního záření s prostředím poloklasicky

Záření elektromagnetická vlna, popisují MR klasicky

Prostředí soubor dvouhlinových kvantových soustav, $\omega_{21} = (E_2 - E_1)/\hbar$

Interakce záření s hmotou prostřednictvím polarizace prostředí $\hat{W} = -\hat{\vec{d}} \cdot \vec{E}(t)$

Odezva prostředí 3 vektorové parciální nelineární diferenciální rovnice 2. řádu pro \vec{E} , \vec{P} a N . Prostředí je pro rezonanční záření disperzní a nelineární

Interakce rezonančního záření s prostředím poloklasicky

Záření elektromagnetická vlna, popisují MR klasicky

Prostředí soubor dvouhlinových kvantových soustav, $\omega_{21} = (E_2 - E_1)/\hbar$

Interakce záření s hmotou prostřednictvím polarizace prostředí $\hat{W} = -\hat{\vec{d}} \cdot \vec{E}(t)$

Odezva prostředí 3 vektorové parciální nelineární diferenciální rovnice 2. řádu pro \vec{E} , \vec{P} a N . Prostředí je pro rezonanční záření disperzní a nelineární

Signál pomalu proměnný impulz s harmonickou nosnou frekvencí $\omega \gg T_{\text{imp}}^{-1}$ v rezonanci ($\omega = \omega_{21}$) a bez fázové modulace → tři rovnice pro obálku

$$\frac{\partial \mathcal{E}}{\partial z'} = \frac{\mu_0 \omega_{21} c}{2} \mathcal{P}_2$$

$$\frac{\partial \mathcal{P}_2}{\partial t'} = -\frac{\mathcal{P}_2}{T_2} - \frac{|d_{21}|^2}{\hbar} \mathcal{E} N$$

$$\frac{\partial N}{\partial t'} = -\frac{N - N_0}{T_1} + \frac{1}{\hbar} \mathcal{E} \mathcal{P}_2$$

Interakce rezonančního záření s prostředím poloklasicky

Záření elektromagnetická vlna, popisují MR klasicky

Prostředí soubor dvouhlinových kvantových soustav, $\omega_{21} = (E_2 - E_1)/\hbar$

Interakce záření s hmotou prostřednictvím polarizace prostředí $\hat{W} = -\hat{\vec{d}} \cdot \vec{E}(t)$

Odezva prostředí 3 vektorové parciální nelineární diferenciální rovnice 2. řádu pro \vec{E} , \vec{P} a N . Prostředí je pro rezonanční záření disperzní a nelineární

Signál pomalu proměnný impulz s harmonickou nosnou frekvencí $\omega \gg T_{\text{imp}}^{-1}$ v rezonanci ($\omega = \omega_{21}$) a bez fázové modulace → tři rovnice pro obálku

$$\frac{\partial \mathcal{E}}{\partial z'} = \frac{\mu_0 \omega_{21} c}{2} \mathcal{P}_2$$

$$\frac{\partial \mathcal{P}_2}{\partial t'} = -\frac{\mathcal{P}_2}{T_2} - \frac{|d_{21}|^2}{\hbar} \mathcal{E} N$$

$$\frac{\partial N}{\partial t'} = -\frac{N - N_0}{T_1} + \frac{1}{\hbar} \mathcal{E} \mathcal{P}_2$$

$T_2 \ll T_{\text{imp}} \ll T_1$ Aproximace rychlostních rovnic

$$\frac{dN}{dt} = W - \frac{N}{\tau_{21}} - \frac{I}{I_s} \frac{N}{\tau_{21}}$$

$$\frac{dI}{dt} = \sigma_{21} \mu c N I - \frac{I}{\tau_c}$$

Rychlostní rovnice pro laser s krátkým rezonátorem

$$\frac{dN}{dt} = W - \frac{N}{\tau_{21}} - \frac{I}{I_s} \frac{N}{\tau_{21}}$$

$$\frac{dI}{dt} = \sigma \mu c N I - \frac{I}{\tau_c}$$

- ▶ Rovnice pro časový vývoj N a I odvozené v approximaci rychlostních rovnic z poloklasické teorie interakce rezonančního záření s látkou

$$\frac{dN}{dt} = W - \frac{N}{\tau_{21}} - \frac{I}{I_s} \frac{N}{\tau_{21}}$$

$$\frac{dI}{dt} = \sigma \mu c N I - \frac{I}{\tau_c}$$

- ▶ Rovnice pro časový vývoj N a I odvozené v approximaci rychlostních rovnic z poloklasické teorie interakce rezonančního záření s látkou
- ▶ Možné jsou i jiné zápisy (N může být nahrazeno ziskem $g = \sigma N$, intenzita světla I může být nahrazena hustotu energie, hustou fotonů a pod.)

$$\frac{dN}{dt} = W - \frac{N}{\tau_{21}} - \frac{I}{I_s} \frac{N}{\tau_{21}}$$

$$\frac{dI}{dt} = \sigma \mu c N I - \frac{I}{\tau_c}$$

- ▶ Rovnice pro časový vývoj N a I odvozené v approximaci rychlostních rovnic z poloklasické teorie interakce rezonančního záření s látkou
- ▶ Možné jsou i jiné zápisy (N může být nahrazeno ziskem $g = \sigma N$, intenzita světla I může být nahrazena hustotu energie, hustou fotonů a pod.)
- ▶ Rovnice vyjadřují dynamiku interakce záření a prostředí v laserovém rezonátoru
 - přenos energie mezi záření a prostředím zprostředkováný absorpcí, spontánní a stimulovanou emisí

$$\frac{dN}{dt} = W - \frac{N}{\tau_{21}} - \frac{I}{I_s} \frac{N}{\tau_{21}}$$

$$\frac{dI}{dt} = \sigma \mu c N I - \frac{I}{\tau_c}$$

- ▶ Rovnice pro časový vývoj N a I odvozené v approximaci rychlostních rovnic z poloklasické teorie interakce rezonančního záření s látkou
- ▶ Možné jsou i jiné zápisy (N může být nahrazeno ziskem $g = \sigma N$, intenzita světla I může být nahrazena hustotu energie, hustou fotonů a pod.)
- ▶ Rovnice vyjadřují dynamiku interakce záření a prostředí v laserovém rezonátoru
 - přenos energie mezi záření a prostředím zprostředkováný absorpcí, spontánní a stimulovanou emisí
- ▶ Zanedbáváme prostorové rozložení N a I v rezonátoru

Rychlostní rovnice pro laser s krátkým rezonátorem

$$\frac{dN}{dt} = W - \frac{N}{\tau_{21}} - \frac{I}{I_s} \frac{N}{\tau_{21}}$$

$$\frac{dI}{dt} = \sigma \mu c N I - \frac{I}{\tau_c}$$

- ▶ Rovnice pro časový vývoj N a I odvozené v approximaci rychlostních rovnic z poloklasické teorie interakce rezonančního záření s látkou
- ▶ Možné jsou i jiné zápisy (N může být nahrazeno ziskem $g = \sigma N$, intenzita světla I může být nahrazena hustotu energie, hustou fotonů a pod.)
- ▶ Rovnice vyjadřují dynamiku interakce záření a prostředí v laserovém rezonátoru
 - přenos energie mezi záření a prostředím zprostředkováný absorpcí, spontánní a stimulovanou emisí
- ▶ Zanedbáváme prostorové rozložení N a I v rezonátoru
- ▶ Předpokládáme, že po dobu oběhu rezonátoru se hodnota N a I mění jen zanedbatelně

$$\frac{dN}{dt} = W - \frac{N}{\tau_{21}} - \frac{I}{I_s} \frac{N}{\tau_{21}}$$

$$\frac{dI}{dt} = \sigma \mu c N I - \frac{I}{\tau_c}$$

- ▶ Rovnice pro časový vývoj N a I odvozené v approximaci rychlostních rovnic z poloklasické teorie interakce rezonančního záření s látkou
- ▶ Možné jsou i jiné zápisy (N může být nahrazeno ziskem $g = \sigma N$, intenzita světla I může být nahrazena hustotu energie, hustou fotonů a pod.)
- ▶ Rovnice vyjadřují dynamiku interakce záření a prostředí v laserovém rezonátoru
 - přenos energie mezi záření a prostředím zprostředkováný absorpcí, spontánní a stimulovanou emisí
- ▶ Zanedbáváme prostorové rozložení N a I v rezonátoru
- ▶ Předpokládáme, že po dobu oběhu rezonátoru se hodnota N a I mění jen zanedbatelně
- ▶ Zanedbáváme spektrální a módovou strukturu laserového záření (approximace rovinné vlny)

- ▶ V rychlostních rovnicích...

$$\frac{dI}{dt} = \sigma_{21}\mu c NI - \frac{I}{\tau_c}; \quad \frac{dN}{dt} = W - \frac{N}{\tau_{21}} - \frac{I}{I_s} \frac{N}{\tau_{21}}$$

- ▶ V rychlostních rovnicích...

$$\frac{dI}{dt} = \sigma_{21}\mu c N I - \frac{I}{\tau_c}; \quad \frac{dN}{dt} = W - \frac{N}{\tau_{21}} - \frac{I}{I_s} \frac{N}{\tau_{21}}$$

- ▶ jejichž stacionární řešení má tvar ($I_0 > 0$):

$$N_0 = \frac{1}{\tau_c \mu c \sigma_{21}}, \quad W_0 = \frac{N_0}{\tau_{21}}, \quad I_0 = \left(\frac{W}{W_0} - 1 \right) I_s$$

- V rychlostních rovnicích...

$$\frac{dI}{dt} = \sigma_{21}\mu c NI - \frac{I}{\tau_c}; \quad \frac{dN}{dt} = W - \frac{N}{\tau_{21}} - \frac{I}{I_s} \frac{N}{\tau_{21}}$$

- jejichž stacionární řešení má tvar ($I_0 > 0$):

$$N_0 = \frac{1}{\tau_c \mu c \sigma_{21}}, \quad W_0 = \frac{N_0}{\tau_{21}}, \quad I_0 = \left(\frac{W}{W_0} - 1 \right) I_s$$

- ... zavedeme nové bezrozměrné parametry a proměnné:

$$\mathcal{N} = \frac{N}{N_0} \rightarrow N = N_0 \mathcal{N}; \quad \mathcal{I} = \frac{I}{I_0} \rightarrow I = I_0 \mathcal{I}$$

$$\mathcal{W} = \frac{W}{W_0} \rightarrow W = W_0 \mathcal{W} \quad \mathcal{T} = \frac{t}{\tau_c} \rightarrow t = \tau_c \mathcal{T}$$

- V rychlostních rovnicích...

$$\frac{dI}{dt} = \sigma_{21}\mu c N I - \frac{I}{\tau_c}; \quad \frac{dN}{dt} = W - \frac{N}{\tau_{21}} - \frac{I}{I_s} \frac{N}{\tau_{21}}$$

- jejichž stacionární řešení má tvar ($I_0 > 0$):

$$N_0 = \frac{1}{\tau_c \mu c \sigma_{21}}, \quad W_0 = \frac{N_0}{\tau_{21}}, \quad I_0 = \left(\frac{W}{W_0} - 1 \right) I_s$$

- ... zavedeme nové bezrozměrné parametry a proměnné:

$$\mathcal{N} = \frac{N}{N_0} \rightarrow N = N_0 \mathcal{N}; \quad \mathcal{I} = \frac{I}{I_0} \rightarrow I = I_0 \mathcal{I}$$

$$\mathcal{W} = \frac{W}{W_0} \rightarrow W = W_0 \mathcal{W} \quad \mathcal{T} = \frac{t}{\tau_c} \rightarrow t = \tau_c \mathcal{T}$$

- Rychlostní rovnice mají s jejich použitím tvar ($\eta = \tau_c / \tau_{21}$):

$$\frac{d\mathcal{I}}{d\mathcal{T}} = (\mathcal{N} - 1) \mathcal{I}; \quad \frac{d\mathcal{N}}{d\mathcal{T}} = \eta \left[\mathcal{W} - \mathcal{N} - (\mathcal{W} - 1) \mathcal{I} \mathcal{N} \right]$$

- V rychlostních rovnicích...

$$\frac{dI}{dt} = \sigma_{21}\mu c NI - \frac{I}{\tau_c}; \quad \frac{dN}{dt} = W - \frac{N}{\tau_{21}} - \frac{I}{I_s} \frac{N}{\tau_{21}}$$

- jejichž stacionární řešení má tvar ($I_0 > 0$):

$$N_0 = \frac{1}{\tau_c \mu c \sigma_{21}}, \quad W_0 = \frac{N_0}{\tau_{21}}, \quad I_0 = \left(\frac{W}{W_0} - 1 \right) I_s$$

- ... zavedeme nové bezrozměrné parametry a proměnné:

$$\mathcal{N} = \frac{N}{N_0} \rightarrow N = N_0 \mathcal{N}; \quad \mathcal{I} = \frac{I}{I_0} \rightarrow I = I_0 \mathcal{I}$$

$$\mathcal{W} = \frac{W}{W_0} \rightarrow W = W_0 \mathcal{W} \quad \mathcal{T} = \frac{t}{\tau_c} \rightarrow t = \tau_c \mathcal{T}$$

- Rychlostní rovnice mají s jejich použitím tvar ($\eta = \tau_c / \tau_{21}$):

$$\frac{d\mathcal{I}}{d\mathcal{T}} = (\mathcal{N} - 1) \mathcal{I}; \quad \frac{d\mathcal{N}}{d\mathcal{T}} = \eta \left[\mathcal{W} - \mathcal{N} - (\mathcal{W} - 1) \mathcal{I} \mathcal{N} \right]$$

- Rovnice popisující dynamiku laseru ve fázové rovině $\mathcal{N} - \mathcal{I}$:

$$\frac{d\mathcal{I}}{d\mathcal{N}} = \frac{(\mathcal{N} - 1) \mathcal{I}}{\eta [\mathcal{W} - \mathcal{N} - (\mathcal{W} - 1) \mathcal{I} \mathcal{N}]}$$

Rychlostní rovnice v režimu volné generace

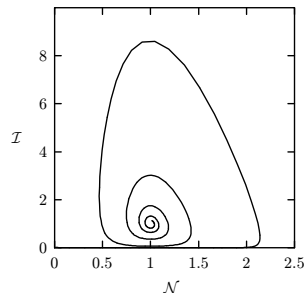
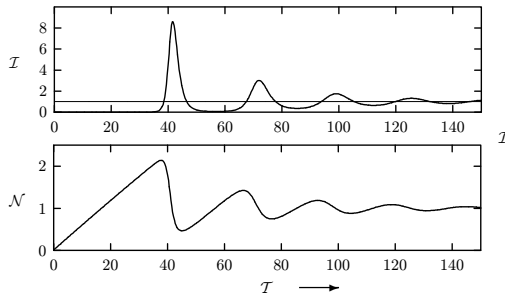
- ▶ Normované rychlostní rovnice ($\eta = \tau_c / \tau_{21}$):

$$\frac{d\mathcal{I}}{d\mathcal{T}} = (\mathcal{N} - 1) \mathcal{I}; \quad \frac{d\mathcal{N}}{d\mathcal{T}} = \eta \left[\mathcal{W} - \mathcal{N} - (\mathcal{W} - 1) \mathcal{I} \mathcal{N} \right]$$

- ▶ Normované rychlostní rovnice ($\eta = \tau_c/\tau_{21}$):

$$\frac{d\mathcal{I}}{dT} = (\mathcal{N} - 1) \mathcal{I}; \quad \frac{d\mathcal{N}}{dT} = \eta \left[\mathcal{W} - \mathcal{N} - (\mathcal{W} - 1) \mathcal{I} \mathcal{N} \right]$$

- ▶ Numerické řešení rychlostních rovnic pro $\mathcal{W} = 30$, $\eta = 2 \times 10^{-3}$

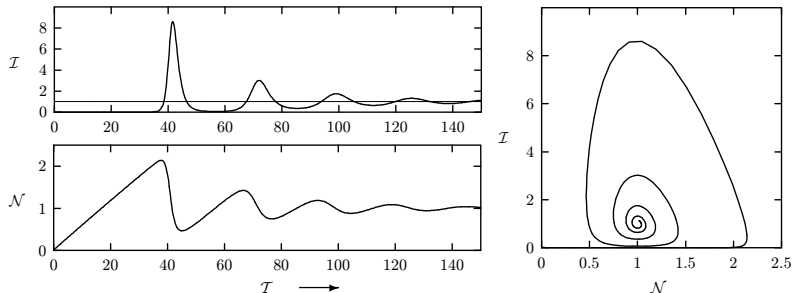


Rychlostní rovnice v režimu volné generace

- ▶ Normované rychlostní rovnice ($\eta = \tau_c / \tau_{21}$):

$$\frac{d\mathcal{I}}{dT} = (\mathcal{N} - 1) \mathcal{I}; \quad \frac{d\mathcal{N}}{dT} = \eta \left[\mathcal{W} - \mathcal{N} - (\mathcal{W} - 1) \mathcal{I} \mathcal{N} \right]$$

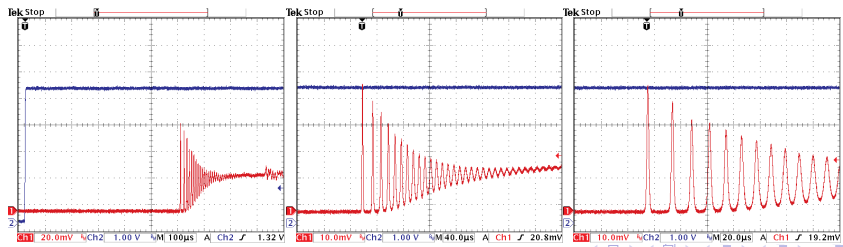
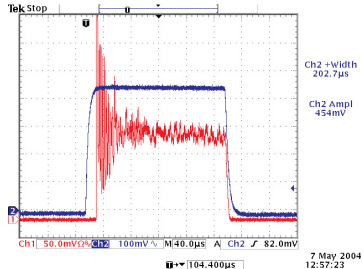
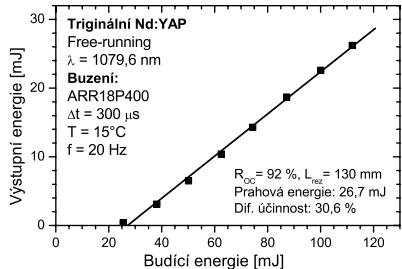
- ▶ Numerické řešení rychlostních rovnic pro $\mathcal{W} = 30$, $\eta = 2 \times 10^{-3}$



- ▶ Časový vývoj normované inverze populace hladin a intenzity laserového záření

Rychlostní rovnice v režimu volné generace

- Příklad naměřené výstupní charakteristiky laseru pro kombinaci výstupní zrcadlo – délka rezonátoru s maximální výstupní energii a příklad časové struktury generovaného záření.



Režim Q-spínání

- ▶ Q-spínání je metoda, která umožňuje dosáhnout generace vysoce výkonných impulsů laserového záření s délkou od jednotek do stovek nanosekund.

Režim Q-spínání

- ▶ Q-spínání je metoda, která umožňuje dosáhnout generace vysoce výkonných impulsů laserového záření s délkou od jednotek do stovek nanosekund.
- ▶ Základní princip mechanismu generace gigantických Q-spínaných impulsů spočívá v jednorázovém uvolnění energie nahromaděné v aktivním prostředí laseru.

Režim Q-spínání

- ▶ Q-spínání je metoda, která umožňuje dosáhnout generace vysoce výkonných impulsů laserového záření s délkou od jednotek do stovek nanosekund.
- ▶ Základní princip mechanismu generace gigantických Q-spínaných impulsů spočívá v jednorázovém uvolnění energie nahromaděné v aktivním prostředí laseru.
- ▶ Ztráty rezonátoru jsou na počátku čerpání uměle zvýšeny \Rightarrow práh generace laseru zvýšen \Rightarrow je zabráněno vzniku relaxačních oscilací a nedochází ke generaci laserového záření ($I \approx 0$)

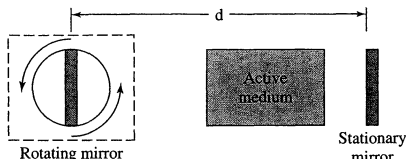
Režim Q-spínání

- ▶ Q-spínání je metoda, která umožňuje dosáhnout generace vysoce výkonných impulsů laserového záření s délkou od jednotek do stovek nanosekund.
- ▶ Základní princip mechanismu generace gigantických Q-spínaných impulsů spočívá v jednorázovém uvolnění energie nahromaděné v aktivním prostředí laseru.
- ▶ Ztráty rezonátoru jsou na počátku čerpání uměle zvýšeny \Rightarrow práh generace laseru zvýšen \Rightarrow je zabráněno vzniku relaxačních oscilací a nedochází ke generaci laserového záření ($I \approx 0$)
- ▶ Ztráty rezonátoru jsou ve vhodný okamžik prudce sníženy na běžnou hodnotu a sníží se práh generace.

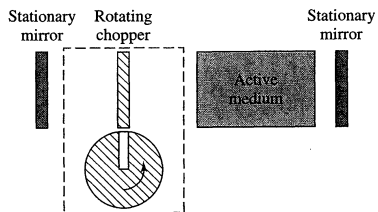
- ▶ Q-spínání je metoda, která umožňuje dosáhnout generace vysoce výkonných impulsů laserového záření s délkou od jednotek do stovek nanosekund.
- ▶ Základní princip mechanismu generace gigantických Q-spínaných impulsů spočívá v jednorázovém uvolnění energie nahromaděné v aktivním prostředí laseru.
- ▶ Ztráty rezonátoru jsou na počátku čerpání uměle zvýšeny \Rightarrow práh generace laseru zvýšen \Rightarrow je zabráněno vzniku relaxačních oscilací a nedochází ke generaci laserového záření ($I \approx 0$)
- ▶ Ztráty rezonátoru jsou ve vhodný okamžik prudce sníženy na běžnou hodnotu a sníží se práh generace.
- ▶ V tomto okamžiku je $N > N_0$ a tedy $\mathcal{N} > 1$ a dochází k exponenciálnímu nárůstu intenzity laserového záření uvnitř rezonátoru \Rightarrow gigantický impuls.

- ▶ Q-spínání je metoda, která umožňuje dosáhnout generace vysoce výkonných impulsů laserového záření s délkou od jednotek do stovek nanosekund.
- ▶ Základní princip mechanismu generace gigantických Q-spínaných impulsů spočívá v jednorázovém uvolnění energie nahromaděné v aktivním prostředí laseru.
- ▶ Ztráty rezonátoru jsou na počátku čerpání uměle zvýšeny \Rightarrow práh generace laseru zvýšen \Rightarrow je zabráněno vzniku relaxačních oscilací a nedochází ke generaci laserového záření ($I \approx 0$)
- ▶ Ztráty rezonátoru jsou ve vhodný okamžik prudce sníženy na běžnou hodnotu a sníží se práh generace.
- ▶ V tomto okamžiku je $N > N_0$ a tedy $\mathcal{N} > 1$ a dochází k exponenciálnímu nárůstu intenzity laserového záření uvnitř rezonátoru \Rightarrow gigantický impuls.
- ▶ Po vyčerpaní energie nahromaděné v inverzi populace hladin impulz doznívá s časovou konstantou τ_c .

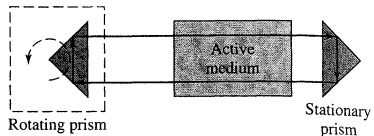
Metody Q-spínání – mechanické



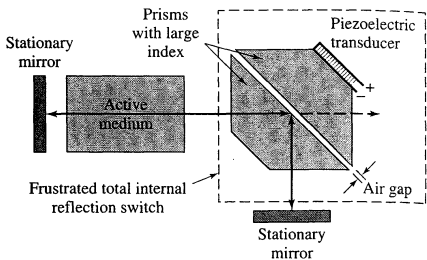
(a) A cavity with a rotating mirror



(c) A cavity with a rotating chopper

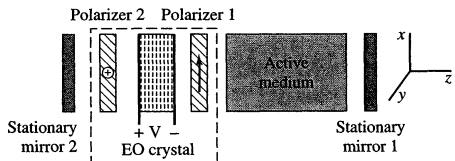


(b) A cavity with a rotating prism

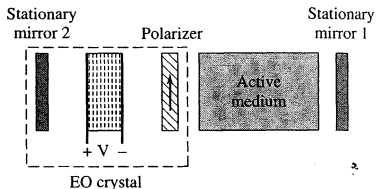


(d) A cavity with a frustrated total internal reflection switch

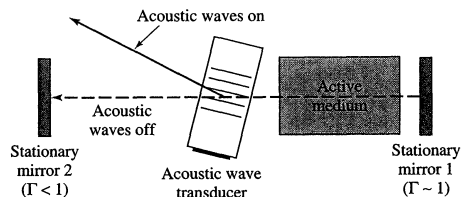
Metody Q-spínání – elektronické a pasivní



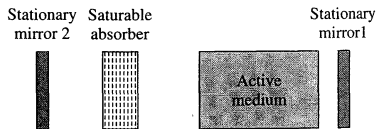
(e) An electrically controlled gate with a half-wave EO crystal and two polarizers with crossed transmission axes



(f) A polarizer, a quarter-wave EO crystal, and mirror 2 acting as an electrically controlled switch

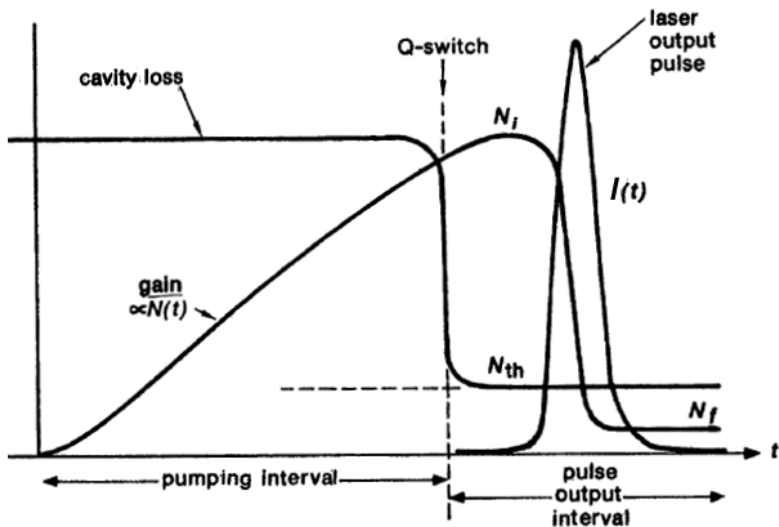


(g) Acoustooptic Q-switch



(h) A cavity with a saturable absorber

Vybudování Q-spínaného impulsu



- ▶ Normovaný tvar rychlostních rovnic

$$\frac{d\mathcal{I}}{dT} = (\mathcal{N} - 1) \mathcal{I}; \quad \frac{d\mathcal{N}}{dT} = \eta \left[\mathcal{W} - \mathcal{N} - (\mathcal{W} - 1) \mathcal{I} \mathcal{N} \right]$$

- ▶ Normovaný tvar rychlostních rovnic

$$\frac{d\mathcal{I}}{dT} = (\mathcal{N} - 1)\mathcal{I}; \quad \frac{d\mathcal{N}}{dT} = \eta \left[\mathcal{W} - \mathcal{N} - (\mathcal{W} - 1)\mathcal{I}\mathcal{N} \right]$$

- ▶ Proces generace Q-spínaného impulsu probíhá během doby srovnatelné s dobou života fotonu v laserovém oscilátoru

- ▶ Normovaný tvar rychlostních rovnic

$$\frac{d\mathcal{I}}{dT} = (\mathcal{N} - 1)\mathcal{I}; \quad \frac{d\mathcal{N}}{dT} = \eta \left[\mathcal{W} - \mathcal{N} - (\mathcal{W} - 1)\mathcal{I}\mathcal{N} \right]$$

- ▶ Proces generace Q-spínaného impulsu probíhá během doby srovnatelné s dobou života fotonu v laserovém oscilátoru
- ▶ Během této doby dojde pouze k nepatrné změně inverze populace hladin v důsledku čerpání a fluorescence ve srovnání s vlivem způsobeným prudkým nárůstem intenzity a proto budou při analytickém řešení tyto změny zanedbány

$$\frac{d\mathcal{I}}{dT} = (\mathcal{N} - 1)\mathcal{I}$$

$$\frac{d\mathcal{N}}{dT} = -\xi \mathcal{I} \mathcal{N}$$

kde

$$\xi = \eta(\mathcal{W} - 1)$$

- ▶ Normovaný tvar rychlostních rovnic

$$\frac{d\mathcal{I}}{dT} = (\mathcal{N} - 1)\mathcal{I}; \quad \frac{d\mathcal{N}}{dT} = \eta \left[\mathcal{W} - \mathcal{N} - (\mathcal{W} - 1)\mathcal{I}\mathcal{N} \right]$$

- ▶ Proces generace Q-spínaného impulsu probíhá během doby srovnatelné s dobou života fotonu v laserovém oscilátoru
- ▶ Během této doby dojde pouze k nepatrné změně inverze populace hladin v důsledku čerpání a fluorescence ve srovnání s vlivem způsobeným prudkým nárůstem intenzity a proto budou při analytickém řešení tyto změny zanedbány

$$\frac{d\mathcal{I}}{dT} = (\mathcal{N} - 1)\mathcal{I}$$

$$\frac{d\mathcal{N}}{dT} = -\xi \mathcal{I} \mathcal{N}$$

kde

$$\xi = \eta(\mathcal{W} - 1)$$

- ▶ Zavedeme novou funkci pro intenzitu ve tvaru

$$\mathcal{J} = \xi \mathcal{I}$$

- ... dostaneme rychlostní rovnice, jejich řešení je závislé pouze na počátečním stupni inverze:

$$\frac{d\mathcal{J}}{dT} = (\mathcal{N} - 1) \mathcal{J}, \quad \frac{d\mathcal{N}}{dT} = -\mathcal{J}\mathcal{N}$$

- ... dostaneme rychlostní rovnice, jejich řešení je závislé pouze na počátečním stupni inverze:

$$\frac{d\mathcal{J}}{dT} = (\mathcal{N} - 1) \mathcal{J}, \quad \frac{d\mathcal{N}}{dT} = -\mathcal{J}\mathcal{N}$$

- Po vyloučení normovaného času T dostaneme:

$$\frac{d\mathcal{J}}{d\mathcal{N}} = -\frac{\mathcal{N} - 1}{\mathcal{N}}$$

- ... dostaneme rychlostní rovnice, jejich řešení je závislé pouze na počátečním stupni inverze:

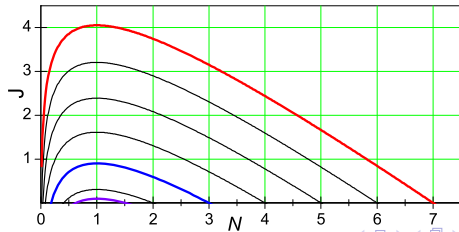
$$\frac{d\mathcal{J}}{dT} = (\mathcal{N} - 1) \mathcal{J}, \quad \frac{d\mathcal{N}}{dT} = -\mathcal{J}\mathcal{N}$$

- Po vyloučení normovaného času T dostaneme:

$$\frac{d\mathcal{J}}{d\mathcal{N}} = -\frac{\mathcal{N} - 1}{\mathcal{N}}$$

- Separujeme proměnné a řešíme za předpokladu, že na počátku je inverze populace \mathcal{N}_i a hustota fotonů $\mathcal{J} = 0$:

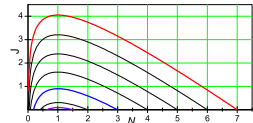
$$\int_0^{\mathcal{J}} d\mathcal{J} = \int_{\mathcal{N}_i}^{\mathcal{N}} \left(\frac{1}{\mathcal{N}} - 1 \right) d\mathcal{N} \quad \Rightarrow \quad \mathcal{J} = \ln \mathcal{N} - \mathcal{N} + \mathcal{N}_i - \ln \mathcal{N}_i$$



Špičková intenzita Q-spínaného impulzu

- ▶ Využijeme vztah mezi intenzitou a inverzí:

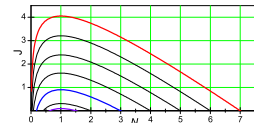
$$\mathcal{J} = \ln \mathcal{N} - \mathcal{N} + \mathcal{N}_i - \ln \mathcal{N}_i$$



Špičková intenzita Q-spínaného impulzu

- ▶ Využijeme vztah mezi intenzitou a inverzí:

$$\mathcal{J} = \ln \mathcal{N} - \mathcal{N} + \mathcal{N}_i - \ln \mathcal{N}_i$$



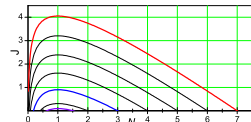
- ▶ Dosazením $\mathcal{N} = 1$, kdy $d\mathcal{J}/d\mathcal{T} = 0$, dostaneme špičkovou intenzitu \mathcal{J}_{max} Q-spínaného impulzu:

$$\frac{d\mathcal{J}}{d\mathcal{T}} = (\mathcal{N} - 1) \mathcal{J} \quad \Rightarrow \quad \mathcal{J}_{max} = \mathcal{N}_i - \ln \mathcal{N}_i - 1$$

Špičková intenzita Q-spínaného impulzu

- Využijeme vztah mezi intenzitou a inverzí:

$$\mathcal{J} = \ln \mathcal{N} - \mathcal{N} + \mathcal{N}_i - \ln \mathcal{N}_i$$



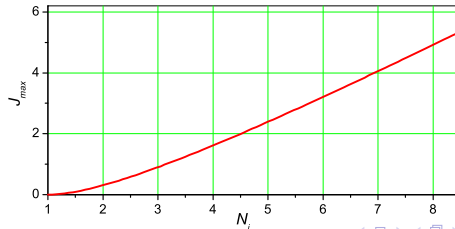
- Dosazením $\mathcal{N} = 1$, kdy $d\mathcal{J}/d\mathcal{T} = 0$, dostaneme špičkovou intenzitu \mathcal{J}_{max} Q-spínaného impulzu:

$$\frac{d\mathcal{J}}{d\mathcal{T}} = (\mathcal{N} - 1) \mathcal{J} \quad \Rightarrow \quad \mathcal{J}_{max} = \mathcal{N}_i - \ln \mathcal{N}_i - 1$$

- Po odnormování dostaneme pro maximální výstupní intenzitu (pro $R \approx 1$):

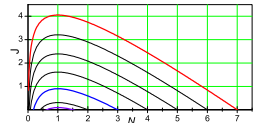
$$I_{max} \doteq \mathcal{J}_{max} \frac{1 - R}{2} \frac{E_s}{\tau_c}$$

kde $E_s = \hbar\omega_{21}/\kappa\sigma_{21}$ je saturační hustota energie (parametr aktivního prostředí)



- ▶ Využijeme vztah mezi intenzitou a inverzí:

$$\mathcal{J} = \ln \mathcal{N} - \mathcal{N} + \mathcal{N}_i - \ln \mathcal{N}_i$$



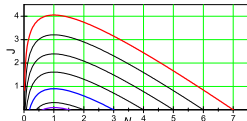
Zbytková inverze v aktivním prostředí \mathcal{N}_f

- ▶ Využijeme vztah mezi intenzitou a inverzí:

$$\mathcal{J} = \ln \mathcal{N} - \mathcal{N} + \mathcal{N}_i - \ln \mathcal{N}_i$$

- ▶ Určíme hodnotu inverze populace hladin \mathcal{N}_f , která se ustálí po vygenerování Q-spínaného impulsu, kdy je opět $\mathcal{J} = 0$. Tehdy:

$$0 = \ln \mathcal{N}_f - \mathcal{N}_f + \mathcal{N}_i - \ln \mathcal{N}_i$$



Zbytková inverze v aktivním prostředí \mathcal{N}_f

- ▶ Využijeme vztah mezi intenzitou a inverzí:

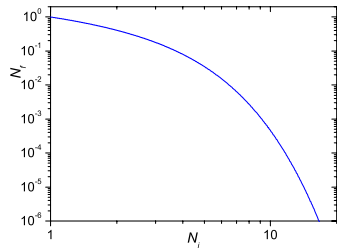
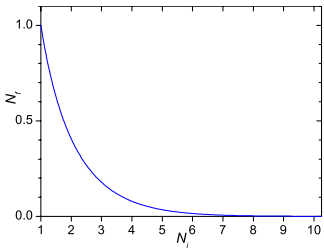
$$\mathcal{J} = \ln \mathcal{N} - \mathcal{N} + \mathcal{N}_i - \ln \mathcal{N}_i$$

- ▶ Určíme hodnotu inverze populace hladin \mathcal{N}_f , která se ustálí po vygenerování Q-spínaného impulu, kdy je opět $\mathcal{J} = 0$. Tehdy:

$$0 = \ln \mathcal{N}_f - \mathcal{N}_f + \mathcal{N}_i - \ln \mathcal{N}_i$$

- ▶ ... a tedy:¹

$$\mathcal{N}_f = -\text{LambertW}\left(-\frac{\mathcal{N}_i}{\exp \mathcal{N}_i}\right)$$



¹Funkce $W(x) = \text{LambertW}(x)$ je definována jako řešení transcendentní rovnice $W(x) \exp[W(x)] = x$.

Energie Q-spínaného impulzu

- ▶ Celková normovaná energie v impulsu:

$$\mathcal{E} = \int_0^{\infty} \mathcal{J} d\mathcal{T} = \left\{ \frac{d\mathcal{N}}{d\mathcal{T}} = -\mathcal{J}\mathcal{N} \right\} = - \int_0^{\infty} \frac{1}{\mathcal{N}} \frac{d\mathcal{N}}{d\mathcal{T}} d\mathcal{T} = - \int_{\mathcal{N}_i}^{\mathcal{N}_f} \frac{d\mathcal{N}}{\mathcal{N}} = \ln \frac{\mathcal{N}_i}{\mathcal{N}_f}$$

Energie Q-spínaného impulzu

- Celková normovaná energie v impulsu:

$$\mathcal{E} = \int_0^\infty \mathcal{J} d\mathcal{T} = \left\{ \frac{d\mathcal{N}}{d\mathcal{T}} = -\mathcal{J}\mathcal{N} \right\} = - \int_0^\infty \frac{1}{\mathcal{N}} \frac{d\mathcal{N}}{d\mathcal{T}} d\mathcal{T} = - \int_{\mathcal{N}_i}^{\mathcal{N}_f} \frac{d\mathcal{N}}{\mathcal{N}} = \ln \frac{\mathcal{N}_i}{\mathcal{N}_f}$$

- ... nebo-li ($0 = \ln \mathcal{N}_f - \mathcal{N}_f + \mathcal{N}_i - \ln \mathcal{N}_i \Rightarrow \ln(\mathcal{N}_i/\mathcal{N}_f) = \mathcal{N}_i - \mathcal{N}_f$)

$$\mathcal{E} = \mathcal{N}_i - \mathcal{N}_f$$

Energie Q-spínaného impulzu

- Celková normovaná energie v impulsu:

$$\mathcal{E} = \int_0^\infty \mathcal{J} d\mathcal{T} = \left\{ \frac{d\mathcal{N}}{d\mathcal{T}} = -\mathcal{J}\mathcal{N} \right\} = - \int_0^\infty \frac{1}{\mathcal{N}} \frac{d\mathcal{N}}{d\mathcal{T}} d\mathcal{T} = - \int_{\mathcal{N}_i}^{\mathcal{N}_f} \frac{d\mathcal{N}}{\mathcal{N}} = \ln \frac{\mathcal{N}_i}{\mathcal{N}_f}$$

- ... nebo-li ($0 = \ln \mathcal{N}_f - \mathcal{N}_f + \mathcal{N}_i - \ln \mathcal{N}_i \Rightarrow \ln(\mathcal{N}_i/\mathcal{N}_f) = \mathcal{N}_i - \mathcal{N}_f$)

$$\mathcal{E} = \mathcal{N}_i - \mathcal{N}_f$$

- Odnormování (pro $R \approx 1$):

$$E = \frac{1-R}{2} SE_s (\mathcal{N}_i - \mathcal{N}_f)$$

Energie Q-spínaného impulzu

- Celková normovaná energie v impulsu:

$$\mathcal{E} = \int_0^\infty \mathcal{J} d\mathcal{T} = \left\{ \frac{d\mathcal{N}}{d\mathcal{T}} = -\mathcal{J}\mathcal{N} \right\} = - \int_0^\infty \frac{1}{\mathcal{N}} \frac{d\mathcal{N}}{d\mathcal{T}} d\mathcal{T} = - \int_{\mathcal{N}_i}^{\mathcal{N}_f} \frac{d\mathcal{N}}{\mathcal{N}} = \ln \frac{\mathcal{N}_i}{\mathcal{N}_f}$$

- ... nebo-li ($0 = \ln \mathcal{N}_f - \mathcal{N}_f + \mathcal{N}_i - \ln \mathcal{N}_i \Rightarrow \ln(\mathcal{N}_i/\mathcal{N}_f) = \mathcal{N}_i - \mathcal{N}_f$)

$$\mathcal{E} = \mathcal{N}_i - \mathcal{N}_f$$

- Odnormování (pro $R \approx 1$):

$$E = \frac{1-R}{2} SE_s (\mathcal{N}_i - \mathcal{N}_f)$$

- kde S je plocha laserového svazku, E_s je saturační hustota energie:

$$E_s = \frac{\hbar\omega_{21}}{\kappa\sigma_{21}}$$

- Celková normovaná energie v impulsu:

$$\mathcal{E} = \int_0^\infty \mathcal{J} d\mathcal{T} = \left\{ \frac{d\mathcal{N}}{d\mathcal{T}} = -\mathcal{J}\mathcal{N} \right\} = - \int_0^\infty \frac{1}{\mathcal{N}} \frac{d\mathcal{N}}{d\mathcal{T}} d\mathcal{T} = - \int_{\mathcal{N}_i}^{\mathcal{N}_f} \frac{d\mathcal{N}}{\mathcal{N}} = \ln \frac{\mathcal{N}_i}{\mathcal{N}_f}$$

- ... nebo-li ($0 = \ln \mathcal{N}_f - \mathcal{N}_f + \mathcal{N}_i - \ln \mathcal{N}_i \Rightarrow \ln(\mathcal{N}_i/\mathcal{N}_f) = \mathcal{N}_i - \mathcal{N}_f$)

$$\mathcal{E} = \mathcal{N}_i - \mathcal{N}_f$$

- Odnormování (pro $R \approx 1$):

$$E = \frac{1-R}{2} SE_s (\mathcal{N}_i - \mathcal{N}_f)$$

- kde S je plocha laserového svazku, E_s je saturační hustota energie:

$$E_s = \frac{\hbar\omega_{21}}{\kappa\sigma_{21}}$$

- Součin SE_s udává maximální extrahovatelnou energii, která je tím vyšší, čím je menší účinný průřez pro stimulovanou emisi.

- Celková normovaná energie v impulsu:

$$\mathcal{E} = \int_0^\infty \mathcal{J} d\mathcal{T} = \left\{ \frac{d\mathcal{N}}{d\mathcal{T}} = -\mathcal{J}\mathcal{N} \right\} = - \int_0^\infty \frac{1}{\mathcal{N}} \frac{d\mathcal{N}}{d\mathcal{T}} d\mathcal{T} = - \int_{\mathcal{N}_i}^{\mathcal{N}_f} \frac{d\mathcal{N}}{\mathcal{N}} = \ln \frac{\mathcal{N}_i}{\mathcal{N}_f}$$

- ... nebo-li ($0 = \ln \mathcal{N}_f - \mathcal{N}_f + \mathcal{N}_i - \ln \mathcal{N}_i \Rightarrow \ln(\mathcal{N}_i/\mathcal{N}_f) = \mathcal{N}_i - \mathcal{N}_f$)

$$\mathcal{E} = \mathcal{N}_i - \mathcal{N}_f$$

- Odnormování (pro $R \approx 1$):

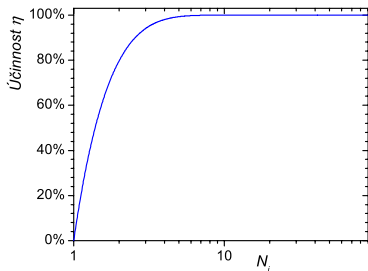
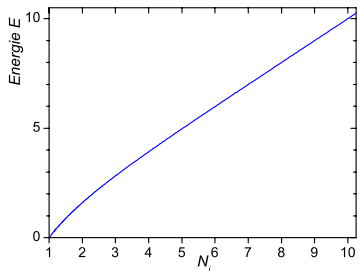
$$E = \frac{1-R}{2} SE_s (\mathcal{N}_i - \mathcal{N}_f)$$

- kde S je plocha laserového svazku, E_s je saturační hustota energie:

$$E_s = \frac{\hbar\omega_{21}}{\kappa\sigma_{21}}$$

- Součin SE_s udává maximální extrahovatelnou energii, která je tím vyšší, čím je menší účinný průřez pro stimulovanou emisi.
- Energie zjevně nezáleží na délce aktivního prostředí L_{ap} . Je však nutné s daným σ_{21} a \mathcal{N}_i dosáhnout prahu generace ($1 \leq R \exp[2\sigma_{21} N_i L_{ap}]$).

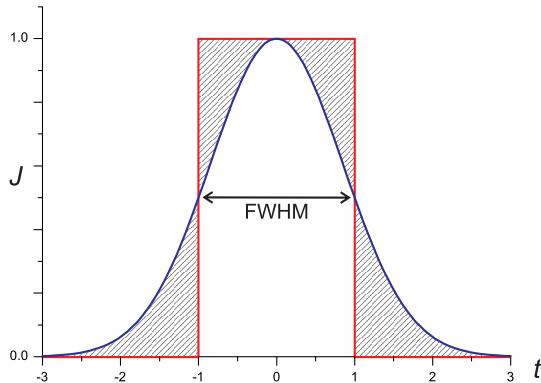
Energie Q-spínaného impulzu a účinnost konverze energie



$$\mathcal{E} = \mathcal{N}_i - \mathcal{N}_f, \quad \eta = \frac{\mathcal{E}}{\mathcal{N}_i} = 1 - \frac{\mathcal{N}_f}{\mathcal{N}_i}$$

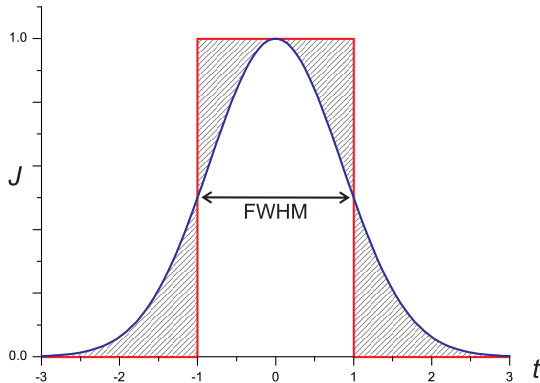
- ▶ Účinnost konverze energie uložené v aktivním prostředí v podobě inverze populace hladin do energie laserového impulzu roste s rostoucím \mathcal{N}_i
- ▶ Pro $\mathcal{N}_i > 5$ je $\eta > 95\%$

- ▶ Gauss vs obdélník – rozdíl ploch při stejné šířce a amplitudě asi 3%



Doba trvání Q-spínaného impulsu

- ▶ Gauss vs obdélník – rozdíl ploch při stejné šířce a amplitudě asi 3%



- ▶ Odhad doby trvání impulsu:

$$\mathcal{T}_{imp}(\text{FWHM}) = \frac{\mathcal{E}}{\mathcal{J}_{max}}$$

- ▶ Odhad doby trvání impulsu:

$$\mathcal{T}_{imp} = \frac{\mathcal{E}}{\mathcal{J}_{max}} = \frac{\mathcal{N}_i - \mathcal{N}_f}{\mathcal{N}_i - \ln \mathcal{N}_i - 1} \rightarrow 1 \quad \text{pro} \quad \mathcal{N}_i \rightarrow \infty$$

- ▶ Odhad doby trvání impulsu:

$$\mathcal{T}_{imp} = \frac{\mathcal{E}}{\mathcal{J}_{max}} = \frac{\mathcal{N}_i - \mathcal{N}_f}{\mathcal{N}_i - \ln \mathcal{N}_i - 1} \rightarrow 1 \quad \text{pro} \quad \mathcal{N}_i \rightarrow \infty$$

- ▶ Oddnorování:

$$T_{imp} = \tau_c \mathcal{T}_{imp}$$

- ▶ Odhad doby trvání impulsu:

$$T_{imp} = \frac{\mathcal{E}}{\mathcal{J}_{max}} = \frac{\mathcal{N}_i - \mathcal{N}_f}{\mathcal{N}_i - \ln \mathcal{N}_i - 1} \rightarrow 1 \quad \text{pro} \quad \mathcal{N}_i \rightarrow \infty$$

- ▶ Oddnorování:

$$T_{imp} = \tau_c T_{imp}$$

- ▶ Nejkratší impulz bude mít dobu trvání τ_c .

Doba trvání Q-spínaného impulsu

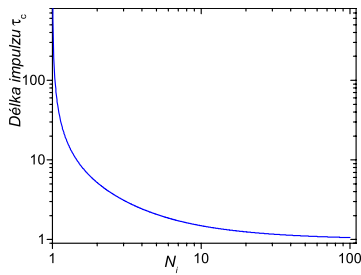
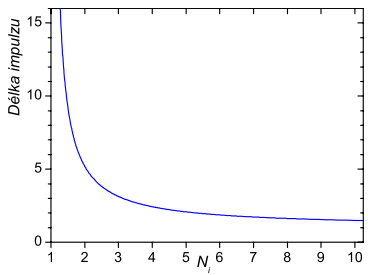
- ▶ Odhad doby trvání impulsu:

$$T_{imp} = \frac{\mathcal{E}}{\mathcal{J}_{max}} = \frac{\mathcal{N}_i - \mathcal{N}_f}{\mathcal{N}_i - \ln \mathcal{N}_i - 1} \rightarrow 1 \quad \text{pro} \quad \mathcal{N}_i \rightarrow \infty$$

- ▶ Oddnorování:

$$T_{imp} = \tau_c T_{imp}$$

- ▶ Nejkratší impulz bude mít dobu trvání τ_c .
- ▶ Délka impulzu v tomto přiblížení nezávisí na vlastnostech aktivního prostředí (kromě jeho vlivu na τ_c), jen na parametrech rezonátoru a dosažitelné relativní inverzi populace hladin.



Doba vybudování Q-spínaného impulsu

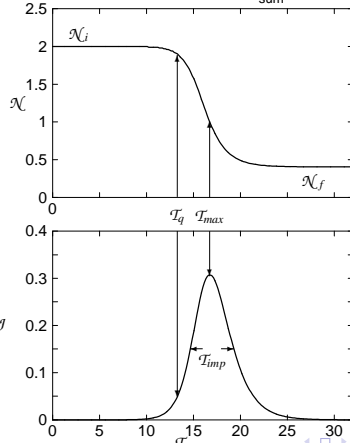
- ▶ Dobu τ_q vybudování gigantického impulsu ze šumu $\mathcal{I}_{\text{šum}}$ lze spočítat za předpokladu, že se inverze populace hladin \mathcal{N} až do okamžiku, kdy je dosaženo $\mathcal{I} = 1$, prakticky nemění. Potom:

$$\frac{d\mathcal{I}}{dT} = (\mathcal{N}_i - 1) \mathcal{I} \quad \Rightarrow \quad \int_0^{\mathcal{T}_q} dT = \frac{1}{\mathcal{N}_i - 1} \int_{\mathcal{I}_{\text{šum}}}^1 \frac{1}{\mathcal{I}} d\mathcal{I} \quad \Rightarrow \quad \mathcal{T}_q = -\frac{\ln(\mathcal{I}_{\text{šum}})}{\mathcal{N}_i - 1}$$

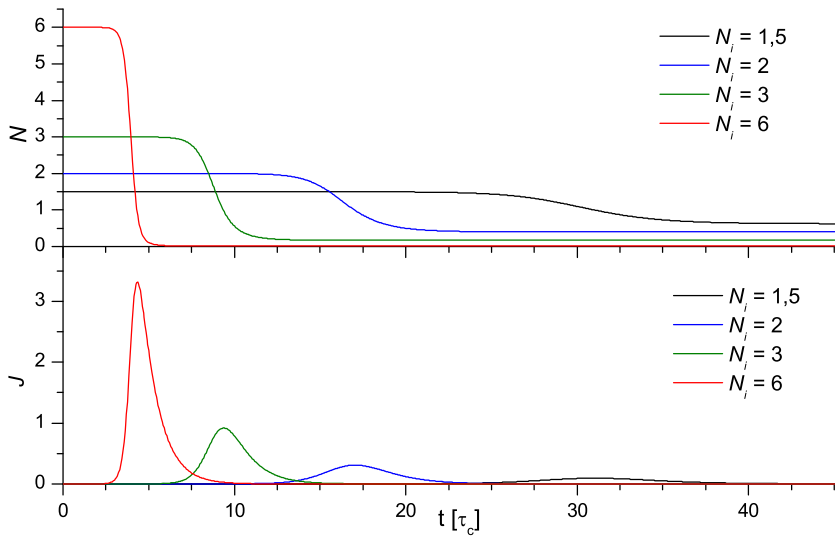
Doba vybudování Q-spínaného impulsu

- Dobu τ_q vybudování gigantického impulsu ze šumu $\mathcal{I}_{\text{šum}}$ lze spočítat za předpokladu, že se inverze populace hladin \mathcal{N} až do okamžiku, kdy je dosaženo $\mathcal{I} = 1$, prakticky nemění. Potom:

$$\frac{d\mathcal{I}}{d\mathcal{T}} = (\mathcal{N}_i - 1) \mathcal{I} \quad \Rightarrow \quad \int_0^{\tau_q} d\mathcal{T} = \frac{1}{\mathcal{N}_i - 1} \int_{\mathcal{I}_{\text{šum}}}^1 \frac{1}{\mathcal{I}} d\mathcal{I} \quad \Rightarrow \quad \tau_q = -\frac{\ln(\mathcal{I}_{\text{šum}})}{\mathcal{N}_i - 1}$$



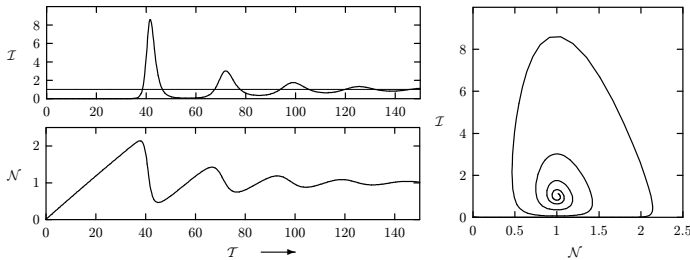
Vybudování Q-spínánoho impulsu



- ▶ S pomocí intenzivního buzení je možné připravit na počátku laserové akce vysokou hodnotu \mathcal{N}_i za dobu kratší, než je doba nutná k vygenerování gigantického impulzu \mathcal{T}_q .

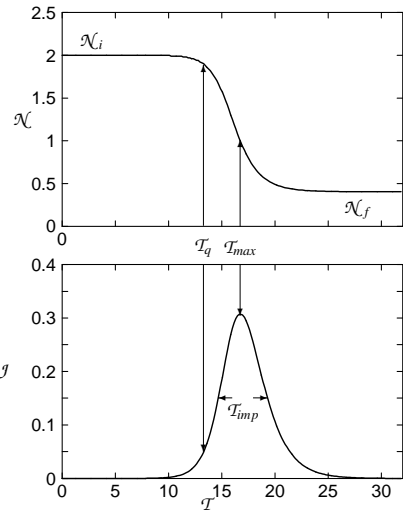
- ▶ S pomocí intenzivního buzení je možné připravit na počátku laserové akce vysokou hodnotu \mathcal{N}_i za dobu kratší, než je doba nutná k vygenerování gigantického impulzu \mathcal{T}_q .
- ▶ Pokud bude buzení trvat po dobu několikanásobně delší, než je doba \mathcal{T}_q , bude na výstupu laseru generován sled impulzů podobný přechodovému jevu v režimu volné generace, s tím rozdílem, že intenzita generovaného záření bude podstatně vyšší, neboť se silně uplatňuje buzení mezi impulzy. Doba trvání prvního impulzu ve sledu je tím kratší, čím je rychlosť buzení větší.

- ▶ S pomocí intenzivního buzení je možné připravit na počátku laserové akce vysokou hodnotu \mathcal{N}_i za dobu kratší, než je doba nutná k vygenerování gigantického impulzu \mathcal{T}_q .
- ▶ Pokud bude buzení trvat po dobu několikanásobně delší, než je doba \mathcal{T}_q , bude na výstupu laseru generován sled impulzů podobný přechodovému jevu v režimu volné generace, s tím rozdílem, že intenzita generovaného záření bude podstatně vyšší, neboť se silně uplatňuje buzení mezi impulzy. Doba trvání prvního impulzu ve sledu je tím kratší, čím je rychlosť buzení větší.
- ▶ Pokud vlastní budící impulz bude podstatně kratší než je doba \mathcal{T}_q , budou po jeho ukončení podmínky stejné jako po otevření Q-spínače a generace se bude řídit obdobnými zákony.

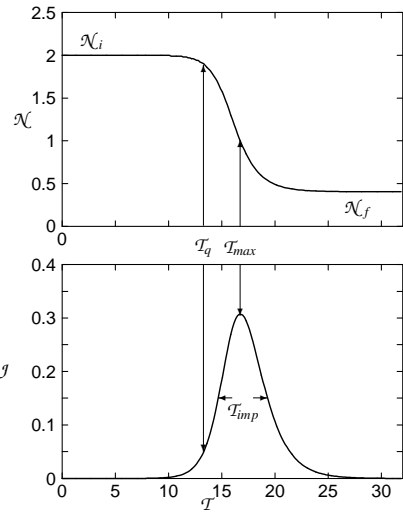


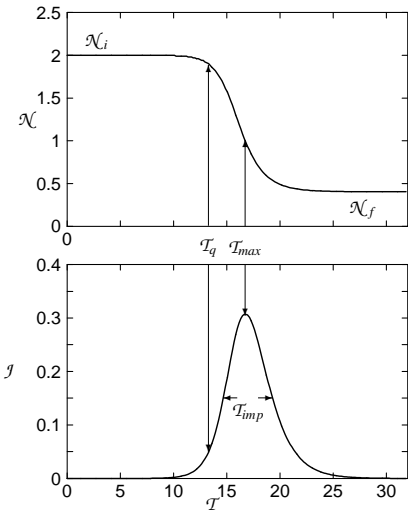
Shrnutí

Shrnutí

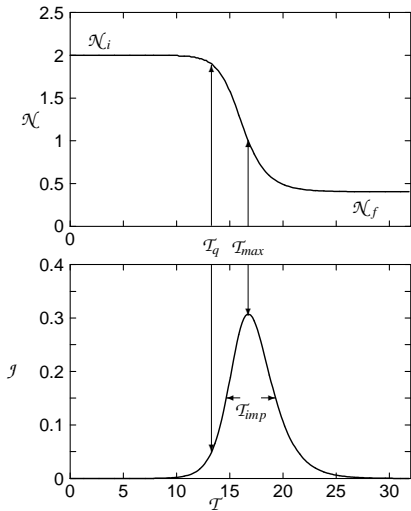


Shrnutí

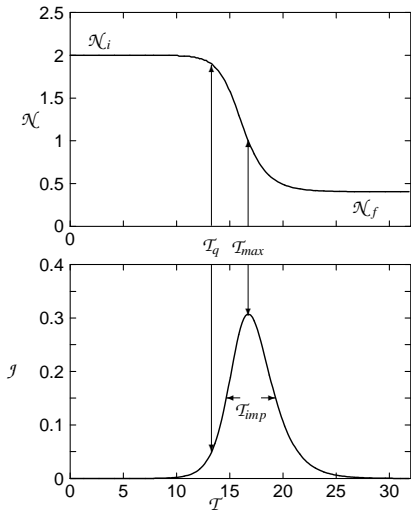




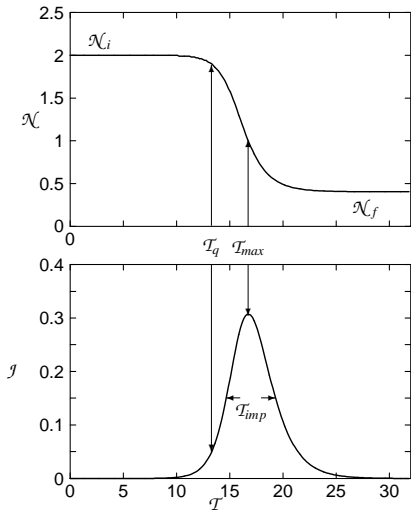
- ▶ Aproximace rychlostních rovnic pro laser s krátkým rezonátorem – dynamika laseru v režimu volné generace a Q-spínání



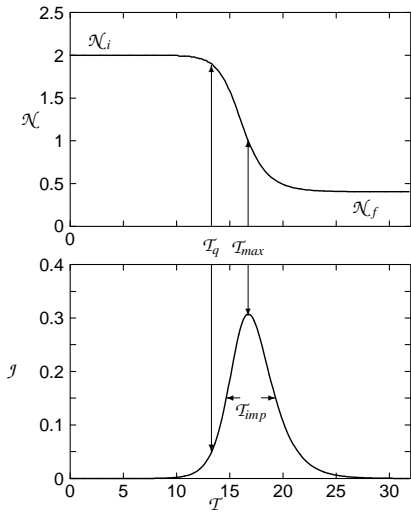
- ▶ Aproximace rychlostních rovnic pro laser s krátkým rezonátorem – dynamika laseru v režimu volné generace a Q-spínání
- ▶ Relaxační oscilace



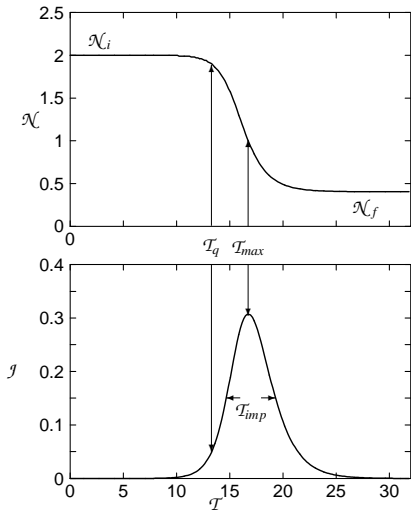
- ▶ Aproximace rychlostních rovnic pro laser s krátkým rezonátorem – dynamika laseru v režimu volné generace a Q-spínání
- ▶ Relaxační oscilace
- ▶ Q-spínání, spínání ziskem



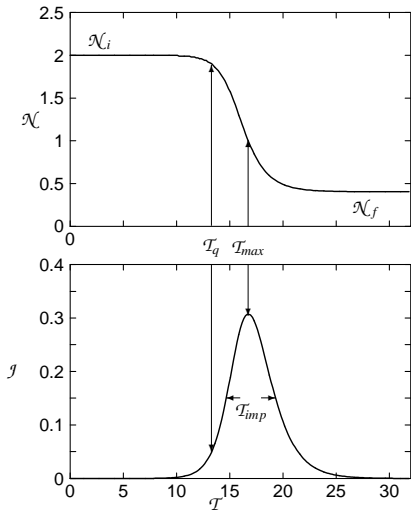
- ▶ Aproximace rychlostních rovnic pro laser s krátkým rezonátorem – dynamika laseru v režimu volné generace a Q-spínání
- ▶ Relaxační oscilace
- ▶ Q-spínání, spínání ziskem
 - ▶ Parametry impulzu určuje poměr počáteční a prahové inverze laseru $\mathcal{N}_i = N/N_0$



- ▶ Aproximace rychlostních rovnic pro laser s krátkým rezonátorem – dynamika laseru v režimu volné generace a Q-spínání
- ▶ Relaxační oscilace
- ▶ Q-spínání, spínání ziskem
 - ▶ Parametry impulzu určuje poměr počáteční a prahové inverze laseru $\mathcal{N}_i = N/N_0$
 - ▶ Energie impulzu a špičkový výkon jsou úměrný saturační energii a \mathcal{N}_i



- ▶ Aproximace rychlostních rovnic pro laser s krátkým rezonátorem – dynamika laseru v režimu volné generace a Q-spínání
- ▶ Relaxační oscilace
- ▶ Q-spínání, spínání ziskem
 - ▶ Parametry impulzu určuje poměr počáteční a prahové inverze laseru $\mathcal{N}_i = N/N_0$
 - ▶ Energie impulzu a špičkový výkon jsou úměrný saturací energii a \mathcal{N}_i
 - ▶ Nejkratší délka generovaného impulzu odpovídá době života fotonu v rezonátoru



- ▶ Aproximace rychlostních rovnic pro laser s krátkým rezonátorem – dynamika laseru v režimu volné generace a Q-spínání
- ▶ Relaxační oscilace
- ▶ Q-spínání, spínání ziskem
 - ▶ Parametry impulzu určuje poměr počáteční a prahové inverze laseru $\mathcal{N}_i = N/N_0$
 - ▶ Energie impulzu a špičkový výkon jsou úměrný saturací energii a \mathcal{N}_i
 - ▶ Nejkratší délka generovaného impulzu odpovídá době života fotonu v rezonátoru
- ▶ Příště: Koherentní šíření impulzů, ZSE

Literatura

-  VRBOVÁ M., ŠULC J.: *Interakce rezonančního záření s látkou*, Skriptum FJFI ČVUT, Praha, 2006
-  VRBOVÁ M., JELÍNKOVÁ H., GAVRILOV P.: *Úvod do laserové techniky*, Skriptum FJFI ČVUT, Praha, 1994 (<http://space.fjfi.cvut.cz/web/sulc/ulat/>)
-  VRBOVÁ M. a kol.: *Lasery a moderní optika - Oborová encyklopédie*, Prometheus, Praha, 1994
-  LONČAR, G.: *Elektrodynamika I*, Skriptum FJFI ČVUT, Praha, 1990
-  Štol, I.: *Elektřina a magnetismus*, Skriptum FJFI ČVUT, Praha, 1994
-  Přednášky: <http://space.fjfi.cvut.cz/web/sulc/l1/>